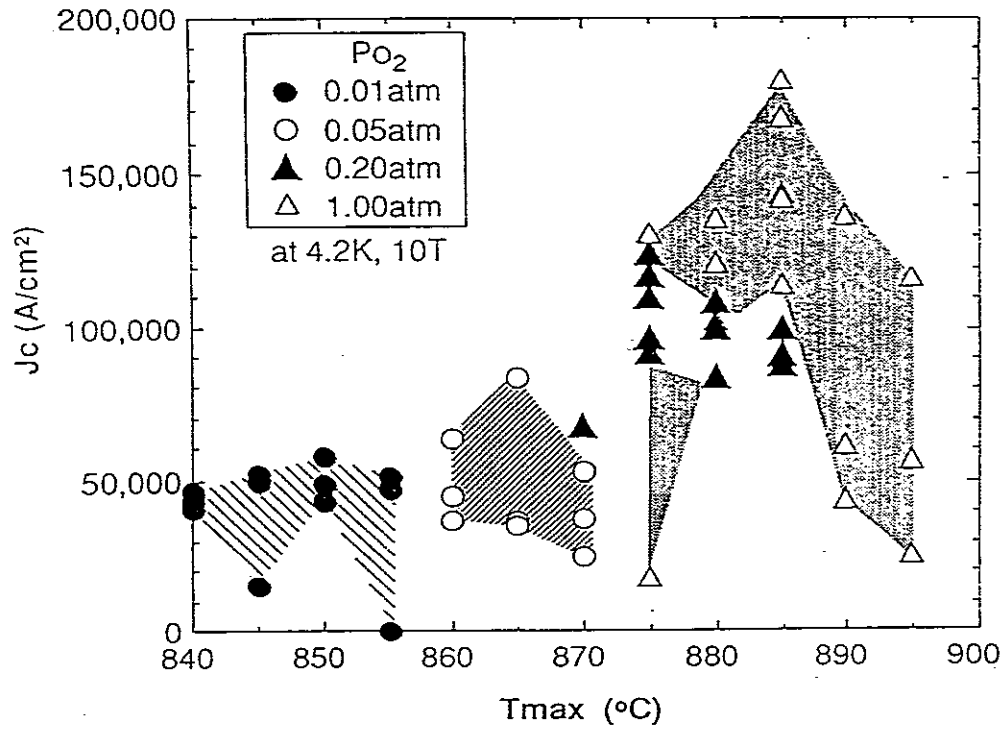


Appendix. A : $J_c(pO_2, T_{max})$ 、粒界の TEM 写真

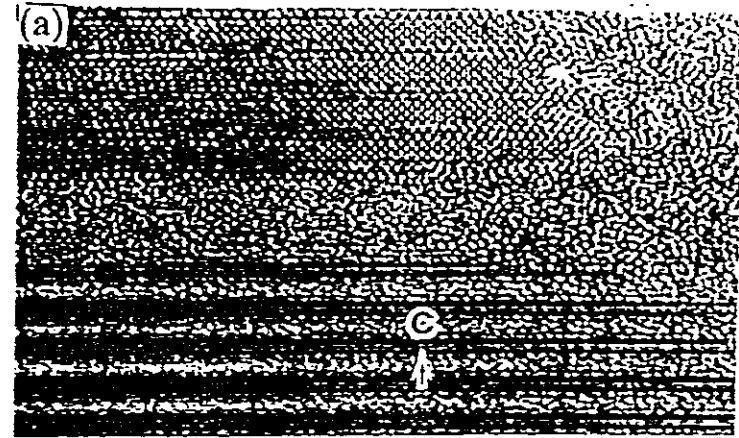
Appendix. B : J_c と alignment の関係

Appendix. C : 交流帯磁率の磁場振幅依存性の pO_2 依存性

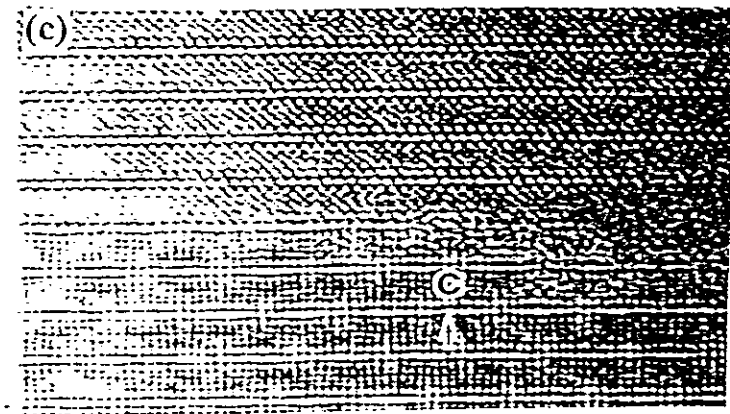
Bi-2212/Agテープにおける熱処理時の酸素分圧の効果



Relationship between J_c at 4.2K, 10T and T_{max} of heat treatment under various pO_2 .



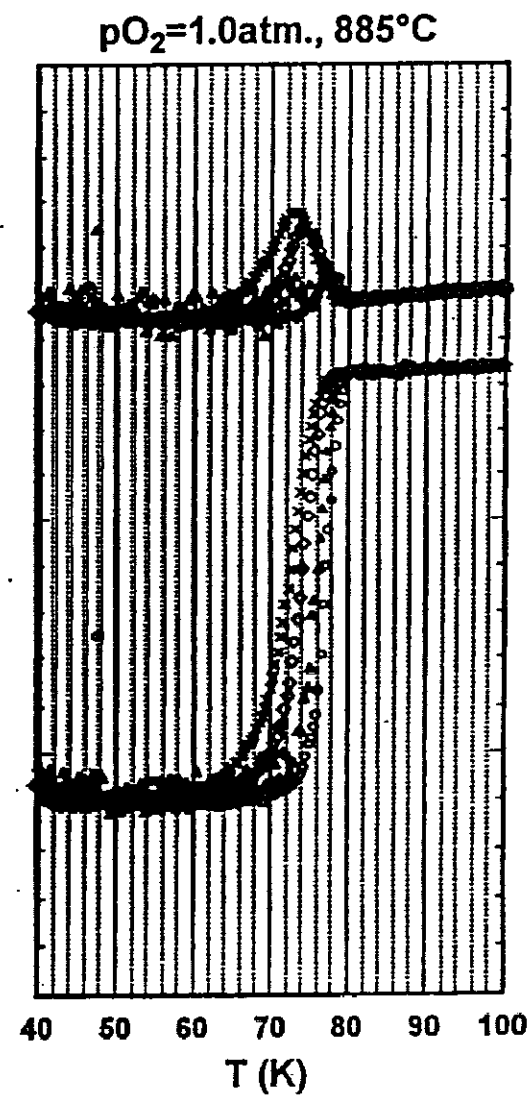
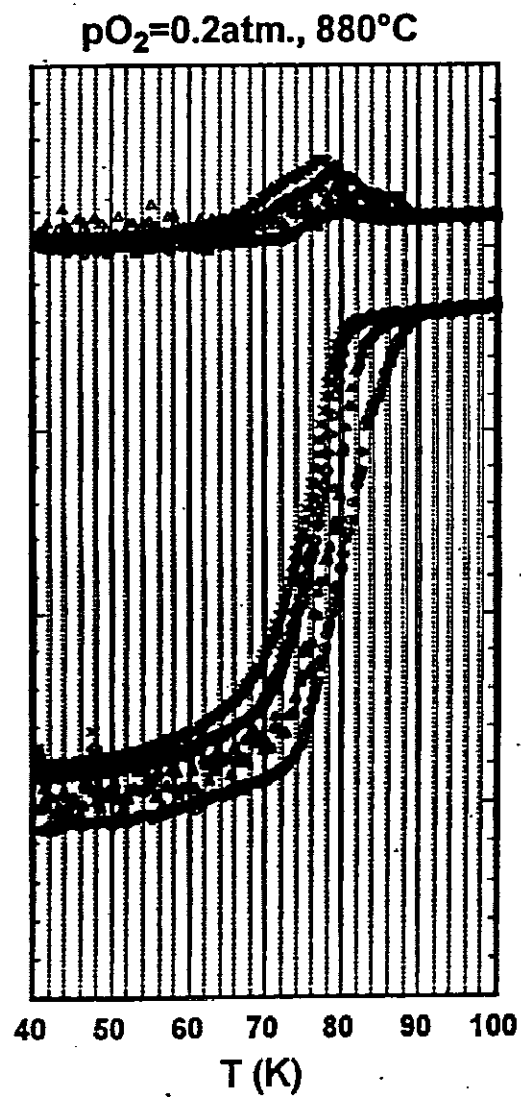
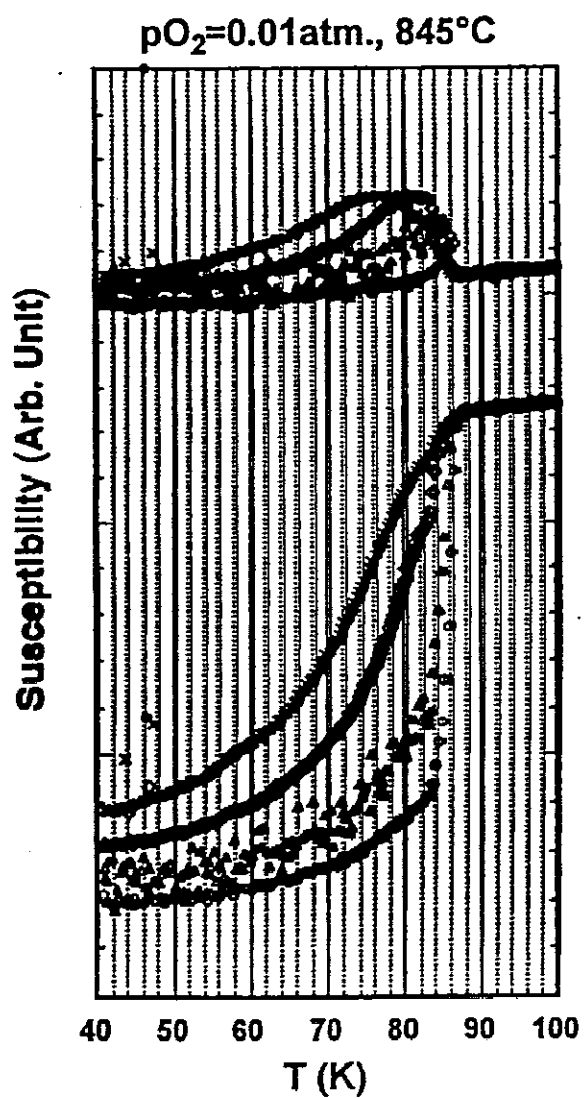
Low P_{O_2}



High P_{O_2}

HREM images of (001) twist boundaries

Amplitude ○ 0.01 Gauss
△ 0.05
◇ 0.5
× 2.5



Bi-2212/Ag 4.2 K, 10 T
B // Tape Surface

